

置換換気時の室内温度・換気効率分布に関する研究 (その2) 発熱量が温度・汚染物濃度の鉛直分布に及ぼす影響

置換換気 温度分布 予測モデル

1はじめに

置換換気方式は、床面近くで低速の給気、天井面近くでの排気を行う室内において、人体などの発熱体によって室内に形成される温度成層を利用して、室上部に汚染物を滞留させ、室下部の居住域空間との間に境界面を形成することにより、居住域の空気を清浄に保つ換気方式である。それゆえ、空気清浄度の観点から換気効率の良い換気方式として注目されている^[12]。置換換気室内における鉛直温度分布予測モデルとしてMundtのモデルが提唱されており、また簡易な空間分割モデルによって鉛直濃度分布予測が可能である。

本報では、発熱量が置換換気される室の温度・濃度分布に及ぼす影響を見るために、室内発熱量を種々設定した条件下で室内温度分布および発熱体上部から発生させたトレーサガス濃度分布を測定した結果と、モデルを用いて得た温度・濃度分布とを比較し、実験室内の置換換気性状とモデルとの整合性について検討した結果について報告する。なお、前報^[3]において濃度測定精度が低かったため、本報で示す結果は一部再実験の意味を持つ。

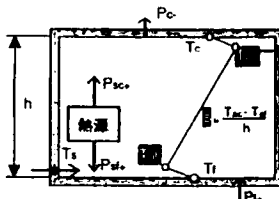


図1 Mundtによる温度分布予測モデル

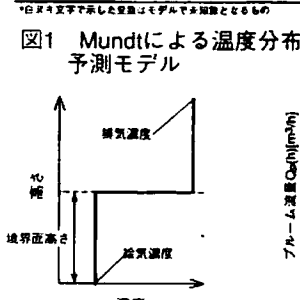


図2 濃度分布モデル 図3 発熱体からの高さとブルーム流量

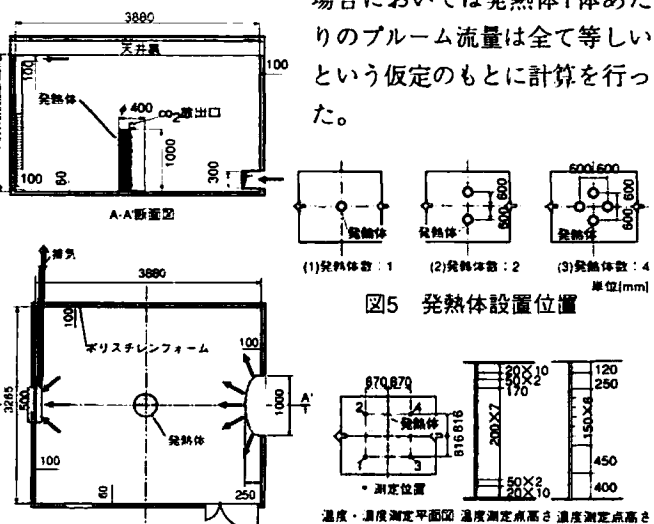
また、本報は既報^[4]をまとめたものであるがブルーム流量に関する回帰式(図3)が異なる^[注]。

表1 Mundtモデル計算諸量	
空気の容積比 α_p [Wh/m³°C]	0.35
放射熱伝達率 ϵ_f [W/m²°C]	5
天井面付近熱伝達率 ϵ_a [W/m²°C]	5
床面付近熱伝達率 ϵ_d [W/m²°C]	7
天井から床までの高さ h [m]	0.05
発熱体から天井への熱移動量 P_{ac} [W]	発熱量/2
発熱体から床への熱移動量 P_{ad} [W]	発熱量/2

2置換換気室内での温度・濃度鉛直分布予測モデル

2.1 鉛直温度分布予測モデル Mundt^[5]のモデルの概略を図1に示す。床面及び天井面付近の対流、放射、貫流、換気熱移動量の収支が0になるように計算することで排気温度 T_e 、天井面付近温度 T_a 、床面付近温度 T_d 、そして室の温度勾配 s を求めることができる。モデルでの計算に利用する諸量は表1の様に設定した。モデルの詳細については文献^[6]を参照されたい。

2.2 鉛直濃度分布予測モデル 置換換気室内では発熱源から汚染物が発生する場合、鉛直濃度分布は室上部濃度が排気濃度と、そして室下部濃度が給気濃度と等しくなり、その境界が境界面(Contaminant Interface)と呼ばれる^[12](図2参照)。従って、境界面高さを知ることができれば簡易に鉛直濃度分布を知ることが可能である。境界面は換気量 Q_p と室内で発生するブルーム流量 $Q_p(h)$ が等しい高さに形成されることが知られており、発熱体発熱量が100 Wで、高さ1 m、直径40cmの場合の発熱体からのブルーム流量としては、Kofoed^[6]によって測定されたデータがある。発熱体からの高さとその高さにおけるブルーム流量との関係を図3に示す。これらの測定結果を近似して、図3に示す関係式を得た。この式を用いて、 $Q_p(h)$ に実験時の給気量を代入することで置換換気室内における境界面高さを計算した。なお、発熱体数が複数の場合においては発熱体1体あたりのブルーム流量は全て等しいという仮定のもとに計算を行った。



Gradient of Temperature and Ventilation Efficiency in Rooms with Displacement Ventilation

Part 2. Effect of Heat Generation on Vertical Temperature and Contaminant Concentration Distribution

HIGASHIMOTO Takeaki, YAMANAKA Toshio, KOTANI Hisashi and XU Ming

表2 実験条件一覧

発熱体数*（個）	1, 2, 4
設定給気温度(°C)	20
送り換気量(m ³ /h)	120
* 一体あたりの発热量 100W	

表3 測定項目および測定機器

測定項目	測定機器
温度	T型熱電対 (±0.3mm)
CO ₂ 濃度	赤外線吸収式 ガス濃度分析器 (URA=107,高津製作所)

3 実験概要

図4に示す様に、水平層流型人工気候室を置換換気可能な室に改造した。壁面および床面には断熱材を貼付したが、天井面は上部に天井裏チャンバーを有するため断熱は行っていない。この実験装置において、人体を模擬した発熱体（発熱量100W、高さ1m、直径40cm円柱）の個数と給気温度を組み合わせた条件下（表2参照）において、室内の温度を測定するとともに、発熱体上部においてトレーサーガスとしてCO₂をバッシブに発生させ（発熱体1体当たり0.6 l/分）、室内のCO₂濃度を測定した。使用した測定機器は表2に示す通りである。発熱体設置位置を図5に、温度・濃度測定点位置を図6に示す。

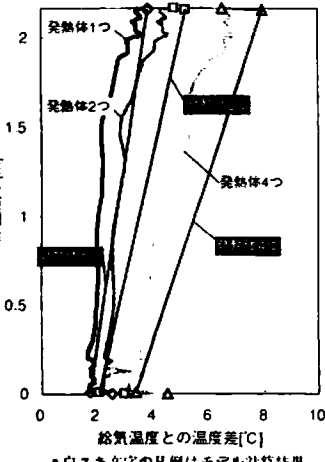
4 実験結果・モデル計算結果と考察

4.1 壁・床・天井面を通しての貫流熱損失量 室内での発熱量（100W～400W）から、排気温度と給気温度の差から算定される換気熱損失量を差し引き、壁・床・天井などの構造部材を介しての貫流熱損失量を計算した。結果を表4に示す。室内温度の上昇に伴う室内外温度差の増大に起因して、貫流熱損失量は発熱量が多いほど大きくなっている。

4.2 鉛直温度分布に関する考察 図7に発熱体数の異なる場合の温度分布を示す。水平面内4点の分布は小さく、どの条件も同じ高さでの水平面平均で示している。図中にMundtモデルを用いて計算した結果を併記する。測定値を見ると、発熱体数が多いほど鉛直温度差が大きく温度も高くなることがわかる。分布形状は床から天井まではほぼ等しい勾配となる一般的な置換換気の場合とは異なり、下層で温度がほぼ均一である。これは吹出風速が十分に低速でなく下層で吹き出し流とブルームとの混合が起こったことによるものと推察される。モデルに関しては、温度勾配が測定値よりもやや大きな値を示しており、分布形状も一致していない。対流・放射熱伝達率の設定値に原因がある可能性がある。また、このモデルでは室上部から下部まで等しい温度勾配と仮定しているために、室下部ではほぼ均一となる測定結果とは差異が生じている。ただし、発熱体数が増加するほど鉛直温度差

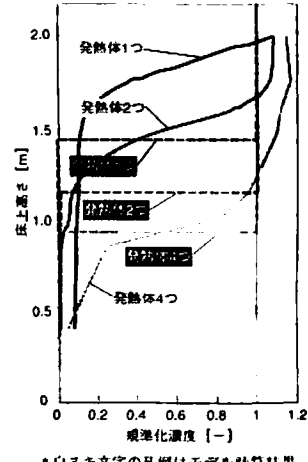
表4 換気と貫流熱損失一覧

設定給気温度(°C)	20
発熱体数[個]	1 2 4
発熱量[W]	100 200 400
換気量[m ³ /h]	103 131 130
給排气温度差(°C)	3.27 4.39 6.75
換気熱損失[W]	118 202 306
貫流熱損失[W]	-18 -2 94



・白ズキ文字の凡例はモデル計算結果

図7 鉛直温度分布



・白ズキ文字の凡例はモデル計算結果

図8 規準化濃度分布

が大きくなる傾向に関しては再現できているといえる。

4.3 鉛直濃度分布に関する考察 図8には発熱量が規準化濃度（給気濃度を基準とした測定濃度を排気濃度（給気濃度基準）で規準化）分布に及ぼす影響を検討するために、異なる発熱体数の条件を同様に重ねて示している。また、2.2で述べた濃度分布予測モデルを用いて計算した結果を併記する。測定結果から発熱体数が多いほど境界面高さが低くなり、低濃度の領域が小さくなることがわかる。モデル計算値と測定値を比較するとモデルで示される境界面高さが測定値から推測される境界面高さより低くなっている。その傾向は発熱体数が少ないとときに顕著である。原因としては、図3で示した $h \cdot Q_p(h)$ 回帰式の値と実際の Q_p の値の間に大きな差異があった可能性がある。また、壁面を通しての貫流熱移動によって生じる上昇流の影響を今回のモデルでは考慮していないことも原因となっている可能性がある。

5 おわりに

今後は貫流熱損失を考慮した室内温度及び濃度分布の予測モデルに関する検討を行っていく所存である。

[注] ブルーム流量の測定結果については今回参照した Kofoed⁶⁾によるものの中にも Mundt⁷⁾が集めた結果等がある。しかし、ブルーム流量の測定は難しく、各々の測定結果にはばらつきが多く見られる。そのため Mundt⁷⁾の測定結果で計算した既報⁸⁾の回帰式と本報の回帰式が異なるため想定される境界面高さに違いが出ており、今後検討を要するものと考える。

[参考文献]

- 1) David Etheridge & Mats Sandberg : BUILDING VENTILATION—Theory and Measurement—, JOHN WILEY & SONS, pp.446-469, 1996
- 2) Peter V. Nielsen : DISPLACEMENT VENTILATION—theory and design —, Ph.D. Thesis, Aalborg University, 1993
- 3) 徐、佐藤、山中、甲谷：置換換気時の室内温度・換気効率分布に関する研究—壁面貫流熱がある場合の給気温度と発熱量が室内温度・換気効率分布に及ぼす影響—、日本建築学会大会学術講演梗概集、pp.581-582, 1999
- 4) 東本、山中、甲谷、徐：置換換気される室において発熱量および給気温度が室内温度および濃度分布に及ぼす影響、日本建築学会近畿支部研究報告集第40号・環境系、2000.6
- 5) Elisabeth Mundt : "TEMPERTURE GRADIENT MODELS IN DISPLACEMENT VENTILATED ROOMS", 5th International Conference on Air Distribution in Rooms, ROOMVENT '96, July 17-19, 1996
- 6) Peter Kofoed: "THERMAL PLUMES IN VENTILATED ROOMS" ,Ph.D.Thesis, pp.168-170, 1991

* 1 大阪大学大学院工学研究科建築工学専攻博士前期課程

* 2 大阪大学大学院工学研究科建築工学専攻 助教授・博士(工学)

* 3 大阪大学大学院工学研究科建築工学専攻 助手

* 4 大阪大学大学院工学研究科建築工学専攻博士後期課程

Graduate Student, Department of Architectural Engineering, Graduate School of Engineering, Osaka University

Associate Prof., Department of Architectural Engineering, Graduate School of Engineering, Osaka University, Dr. Eng.

Research Associate, Department of Architectural Engineering, Graduate School of Engineering, Osaka University

Graduate Student, Department of Architectural Engineering, Graduate School of Engineering, Osaka University